

割裂強度におよぼすコンクリートの断面形状の影響について

東北大学 学生員。妹島 淳生
東北大学 正員 三浦 尚
東北大学 学生員 大沢 健治

1.はじめに

通常のめがり厚をもち異形鉄筋を使つた鉄筋コンクリート部材定着部の付着破壊は、コンクリートの割裂によって生じる。割裂破壊のメカニズムは複雑で、割裂強度の算定にあたっては、多くの要素が考慮されなければならない。近年、めがり厚および鉄筋間のあきを割裂強度の計算にとり入れた方法が示されている。しかし、割裂強度は、めがり厚や鉄筋間のあきのみでなく、部材断面の形状や断面中の鉄筋位置からも影響を受けることが考えられる。

そこで、本研究は、部材断面形状のちがひが鉄筋コンクリート部材定着部の割裂強度にどのような影響を与えるかについて、実験・解析を行つて検討したものである。

2. 実験材料

この実験に使用したセメントは、早強ポルトランドセメント、骨材は、宮城県白石川産川砂および宮城県丸森産碎石（粗骨材の最大寸法は 20mm ）である。コンクリートの圧縮強度は、材令7日ではほぼ 30.0kg/cm^2 である。鉄筋は、市販の横フジ異形鉄筋を用いた。

3. 実験方法

図1に示すよう、コンクリートに埋め込んだ鉄筋を引抜く、引抜き試験を行つた。引抜き試験を各供試体について行つて、求まつた結果を比較して、断面形状の割裂強度におよぼす影響を調べた。

実験は、以下（実験I）、（実験II）、および（実験III）に述べる断面をもつ供試体について行つた。いずれの（実験）においても、破壊時の平均付着応力度を求め、またひびわれの観察を行つた。平均付着応力度とは、引張り力を（鉄筋周長×付着長さ）で割つたものである。

（実験I） 図2に示す3種の形状について実験を行つた。断面Aは、断面 100×100 で、断面の中心に鉄筋を配置したもの。断面Bは、断面 180×270 で、鉄筋を断面の下方に配置したもの。断面Cは、断面 200×200 で、鉄筋を断面のスミに配置したものである。いずれの断面も最小めがりを 42mm とした。

（実験II） 図3に示す3種について行つた。これらは、（実験I）の断面の最小めがり部1か所に、1本のスリットを入れて、割裂ひびわれが発生している状態をつくったものである。

（実験III） 図4に示す2種について行つた。これらは、（実験I）の断面の最小めがり部を、横方向鉄筋で補強したものである。

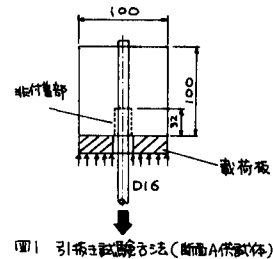


図1 引抜き試験装置法(断面A供試体)

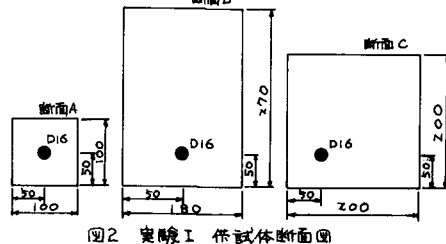


図2 実験I 供試体断面図

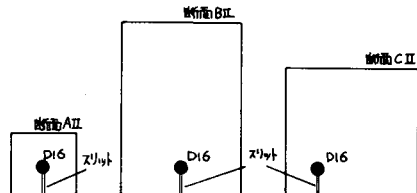


図3 実験II 供試体断面図(スリット入)

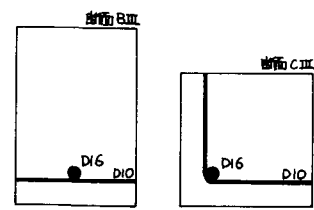


図4 実験III 供試体断面図(補強筋有)

4. 実験結果および考察

(実験Ⅰ) まず、図5に、各断面A, B, およびCに発生したひびわれを示す。断面Aには、鉄筋を中心にして、多くは3本のひびわれが発生した。断面Bには、鉄筋を中心にしてY字状のひびわれが発生した。断面Cには、最小かぶり部のひびわれとともに、断面のスミに三角形をつくるようなひびわれが発生した。このように、断面の形状、鉄筋の位置が変ると、ひびわれの発生パターンが変わることがわかる。各断面とも、ひびわれはいずれも同時に発生した。

次に、表1(=実験Ⅰ)に各供試体の破壊時の平均付着応力度($\bar{\tau}$)および τ_{c} , τ_{a} を示す。 τ_{c} , τ_{a} および $\bar{\tau}$ とは、それぞれ、断面A, B, およびCの供試体の破壊時の平均付着応力度である。 τ_{c} , τ_{a} および $\bar{\tau}$ は、1回の実験ごとにばらつきがみられた。しかし、比 $\tau_{\text{c}}/\tau_{\text{a}}$, $\bar{\tau}/\tau_{\text{a}}$ は、ともに1.1程度とよく一致し、断面B, Cのどちらの供試体も、断面Aの供試体に比べてかだか10%程度ではあるが、破壊時の平均付着応力度は高く、断面形状のちがいが割裂強度に差をもたらすことを示している。

(実験Ⅱ) スリットを入れた場合でのおよび $\tau_{\text{c}}/\tau_{\text{a}}$, $\bar{\tau}/\tau_{\text{a}}$ は、表1(=実験Ⅱ)に示すとおりである。スリットを入れると、断面Aの供試体のでは約50%, 断面Bの供試体のでは約17%, 断面Cの供試体のでは約35%, いずれも減少した。減少した割合は、いずれの場合もかなり高く、最小かぶり部は割裂強度に対する重要なものであることを示している。

(実験Ⅲ) 最小かぶり部を横筋向鉄筋で補強すると、(実験Ⅰ)とは異なり、1つ1つのひびわれ発生に時間的な差があらわれた。つまり、ひびわれの発生は、図6に示すように、まず最小かぶり部①に起きた後、つづいて他の箇所②に起きた。①のひびわれが発生すると、荷重は減少するばかりで増加することではなく、最小かぶり部のひびわれ発生は、部材が最大耐力に達したことを見せていく。

最後に、(実験Ⅰ)の断面面の応力解析を試みた。図7のように、鉄筋からまわりのコンクリートに等分布圧縮力がかかるようにして、弹性の範囲で計算した。最小かぶり部の引張主応力は、断面Aが若干大きかったが、図8に示すとおり、断面B, Cとほとんど差はなかった。

(参考文献)

J.O. Jirsa, "A Reevaluation of Test Data on Development Length and Splices", ACI Journal, March, 1997

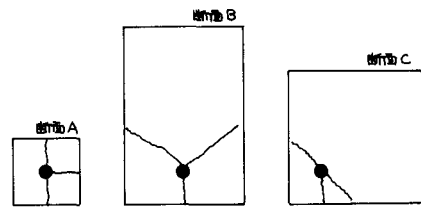


図5 実験Ⅰ ひびわれ図(代表例)

表1 破壊時の平均付着応力度 $\bar{\tau}$ および τ_{c} or τ_{a}

回数	断面	$f'_c \text{ kg/cm}^2$	$\bar{\tau} \text{ kg/cm}^2$	$\tau_{\text{c}}/\tau_{\text{a}}$ or $\tau_{\text{c}}/\tau_{\text{a}}$
1	A	300	122.9	1.14
	B		140.3	
2	A	318	133.4	1.14
	B		152.0	
3	A	311	130.4	1.13
	B		146.7	
4	A	301	133.4	1.13
	B		150.9	
I	A	302	128.0	1.15
	C		147.0	
	C		157.8	
II	A	310	62.7	—
	B		123.3	
	C		99.4	
III	A	310	123.3	2.0
	B		99.4	
	C		1.8	

f'_c : コンクリートの圧縮強度

$\bar{\tau}$: 破壊時の平均付着応力度

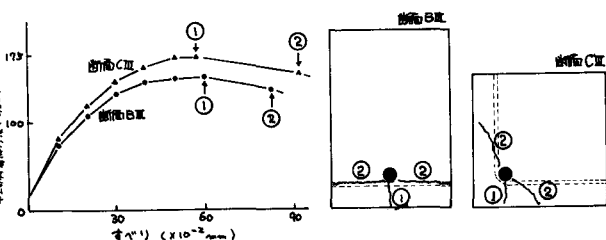


図6 実験Ⅲ ひびわれ発生の順序(代表例)

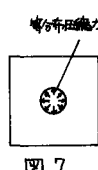


図7

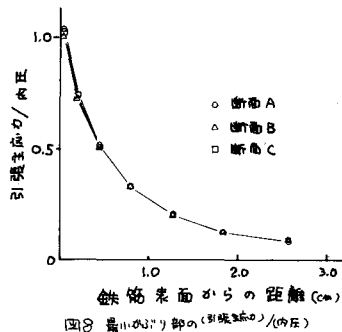


図8 最小かぶり部の引張主応力/(内圧)